







SPRAWOZDANIE NR OS/1024/24

Z POMIARÓW NATĘŻENIA PÓL ELEKTROMAGNETYCZNYCH

WYKONANYCH DLA CELÓW OCHRONY ŚRODOWISKA

Miejsce wykonania badania:	MIE7113A	
	39-300 Mielec, Ducha Świętego 6b, pow. mielecki, woj. PODKARPACKIE	
Współrzędne geograficzne:	50°17'54.01"N 21°25'23.75"E	
Data wykonania pomiarów:	27.11.2024	
Data wydania sprawozdania:	27.11.2024	
Zleceniodawca:	P4 sp. z o.o. ul. Wynalazek 1 02-667 Warszawa	
Sprawozdanie wykonał:	Sprawdził:	Autoryzował:
 Specjalista ds. analiz i wizualizacji wyników	 Kierownik ds. jakości	  Kierownik ds. jakości

1. INFORMACJE O UŻYTKOWNIKU ¹

- Zleceniodawca: P4 sp. z o.o. ul. Wynalazek 1, 02-667 Warszawa
- Typ obiekt: Instalacja radiokomunikacyjna zainstalowana na dachu budynku
- Numer obiektu: MIE7113A
- Adres obiektu: 39-300 Mielec, Ducha Świętego 6b, pow. mielecki, woj. PODKARPACIE
- Współrzędne geograficzne: 50°17'54.01"N 21°25'23.75"E

2. CHARAKTERYSTYKA ŹRÓDEŁ PEM ¹

Tabela 1. Parametry systemu nadawczo-odbiorczego

Charakterystyka promieniowania				kierunkowa						
Rzeczywisty czas pracy [h/dobę]				Całodobowa 24h						
Warunki pracy				Znamionowe						
Rodzaj wytwarzanego pola				stacjonarne						
Lp.	Typ nadajnika	Antena Producent / Typ	Azymut [°]	Wysokość środka elektr. anteny [m n.p.t.]	Pasma [Mhz]	Kąt nachylenia [°]	EIRP dla anteny [W]	LON	LAT	
1	RBS6xxx/2xxx/4xxx	Huawei ATR4518R6	0	23	800	0 - 6	1589	21°25'23.75"E	50°17'54.01"N	
	2600				0 - 6	21°25'23.75"E		50°17'54.01"N		
2	RBS6xxx/2xxx/4xxx	Huawei ATR4518R6	0	23	900	0 - 6	1934	21°25'23.75"E	50°17'54.01"N	
	1800				0 - 6	21°25'23.75"E		50°17'54.01"N		
	2100				0 - 6	21°25'23.75"E		50°17'54.01"N		
3	RBS6xxx/2xxx/4xxx	Huawei ATR4518R6	120	23	800	0 - 6	1589	21°25'23.75"E	50°17'54.01"N	
	2600				0 - 6	21°25'23.75"E		50°17'54.01"N		
4	RBS6xxx/2xxx/4xxx	Huawei ATR4518R6	120	23	900	0 - 6	1934	21°25'23.75"E	50°17'54.01"N	
	1800				0 - 6	21°25'23.75"E		50°17'54.01"N		
	2100				0 - 6	21°25'23.75"E		50°17'54.01"N		
5	RBS6xxx/2xxx/4xxx	Huawei ATR4518R6	240	23	800	0 - 6	1589	21°25'23.75"E	50°17'54.01"N	
	2600				0 - 6	21°25'23.75"E		50°17'54.01"N		
6	RBS6xxx/2xxx/4xxx	Huawei ATR4518R6	240	23	900	0 - 6	1934	21°25'23.75"E	50°17'54.01"N	
	1800				0 - 6	21°25'23.75"E		50°17'54.01"N		
	2100				0 - 6	21°25'23.75"E		50°17'54.01"N		

¹ Dane pozyskane od Klienta

Tabela 2. Parametry radiolinii

Charakterystyka promieniowania				kierunkowa					
Rzeczywisty czas pracy [h/dobę]				24					
Rodzaj wytwarzanego pola				stacjonarne					
Lp.	Linia radiowa			Antena					
	Typ nadajnika	Częstotliwość pracy [GHz]	Moc wyjściowa [dBm]	Typ/producent	Średnica anteny [m]	Azymut [°]	Wysokość zainstal. [m]	LON	LAT
BRAK RADIOLINII									

Inne źródła PEM: W obszarze pomiarowym badanego obiektu **nie występują** inne źródła promieniowania pola elektromagnetycznego, które w zakresie badanych częstotliwości bezpośrednio wpływają na wynik wartości mierzonej natężenia pola.

3. OPIS POMIARÓW

Cel badań: Sprawdzenie dotrzymania dopuszczalnych poziomów pól elektromagnetycznych, w otoczeniu instalacji wytwarzających takie pola.

3.1. Data oraz warunki pomiarów

Data pomiarów	Godzina		Opady	Temperatura [C]		Wilgotność [%]	
	rozpoczęcia pomiarów	zakończenia pomiarów		Minimalna	Maksymalna	Minimalna	Maksymalna
27.11.2024	13:30	15:00	Brak	7,2	7,7	73,6	74,7

3.2. Aparatura pomiarowa:

Tabela 3. Opis zestawu pomiarowego

Nazwa	Typ/model	Numer fabryczny/SN	Świadectwo wzorcowania	Zastosowanie
Szerokopasmowy miernik natężenia pola elektromagnetycznego	NBM- 520	D-2228	LWiMP/W/157/24 z dnia 16.05.2024 (Laboratorium Wzorców i Metrologii Pola Elektromagnetycznego Instytutu Telekomunikacji, Teleinformatyki i Akustyki Politechniki Wrocławskiej)	Pomiary pola elektromagnetycznego
Sonda pomiarowa pola elektrycznego	EF-9091	A-0139		
Szerokopasmowy miernik natężenia pola elektromagnetycznego	NBM- 520	D-2187	LWiMP/W/381/22 z dnia 28.11.2022 (Laboratorium Wzorców i Metrologii Pola Elektromagnetycznego Instytutu Telekomunikacji, Teleinformatyki i Akustyki Politechniki Wrocławskiej)	
Sonda pomiarowa pola elektrycznego	EF-0691	J-0201		
Termohigrometr	Termioplus - S	SN 120823	586/2024 z dnia 01.03.2024 (Instytut Energetyki - Państwowy Instytut Badawczy)	Pomiary wilgotności względnej powietrza Pomiary temperatury powietrza
Odbiornik GPS	Garmin GLO2	1792A-A1156/5PS056463	-	Pomiar współrzędnych geograficznych

3.3. Wyznaczenie niepewności pomiarów:

Ocenę niepewności przyjmuje się zgodnie z procedurą stosowaną w laboratorium.

Wyznaczona rozszerzona niepewność pomiaru dla współczynnika rozszerzenia $k = 2$ dla zestawu pomiarowego z pkt.3.2 w dniu pomiaru wynosi 33,09%.

3.4. Kryteria przedstawiania stwierdzeń zgodności

Niniejsze sprawozdanie zgodnie z zasadami systemu akredytacji zawiera stwierdzenia zgodności.

W przypadku badań poziomów pola elektromagnetycznego w środowisku stwierdzenie zgodności dotyczy rozstrzygnięcia, czy zmierzona wartość opisująca pole elektromagnetyczne przekracza wartość dopuszczalną dla zakresu częstotliwości, w którym pracują źródła podaną w Rozporządzeniu Ministra Zdrowia z dnia 17 grudnia 2019 r. w sprawie dopuszczalnych poziomów pól elektromagnetycznych w środowisku (Dz. U. z 2019 r. poz. 2448).

3.5. Metodyka wykonania pomiarów:

Zastosowano metodę znormalizowaną w oparciu o Rozporządzenie Ministra Klimatu i Środowiska z dnia 6 maja 2022 r. zmieniające rozporządzenie w sprawie sposobów sprawdzania dotrzymania dopuszczalnych poziomów pól elektromagnetycznych w środowisku (Dz.U. 2022 poz. 1121).

3.6. Przepisy prawne:

- Ustawa z dnia 27 kwietnia 2001 r. Prawo ochrony środowiska (Dz.U. 2024 r. poz. 834).
- Rozporządzenie Ministra Zdrowia z dnia 17 grudnia 2019 r. w sprawie dopuszczalnych poziomów pól elektromagnetycznych w środowisku (Dz. U. z 2019 r. poz. 2448).
- Rozporządzenie Ministra Klimatu z dnia 17 lutego 2020 r. w sprawie sposobów sprawdzania dotrzymania dopuszczalnych poziomów pól elektromagnetycznych w środowisku Załącznik do obwieszczenia Ministra Klimatu i Środowiska z dnia 21 listopada 2022 r. (Dz. U. poz. 2630).

3.7. Opis pomiarów

Stacja bazowa MIE7113A usytuowana jest na wieży kratowej zlokalizowanej pod adresem 39-300 Mielec, Ducha Świętego 6b, pow. mielecki, woj. PODKARPACKIE. Anteny i moduły RRU zamontowane są na antenowych konstrukcjach wsporczych a urządzenia są w szafie APM zainstalowanej u podnóża wieży. W otoczeniu stacji zlokalizowana jest zabudowa wielorodzinna, jednorodzinna, handlowo-usługowa oraz użyteczności publicznej. Analiza parametrów technicznych wykazała, że urządzenia nadawcze stacji pracują w paśmie częstotliwości zgodnie z tabelą 1 oraz tabelą 2. Moc wyjściowa nadajników doprowadzona jest do anten przy pomocy ekranowanych fiderów.

Pomiary w otoczeniu stacji bazowej wykonano wzdłuż kierunków maksymalnego zasięgu oddziaływania pola elektromagnetycznego na kierunkach osi głównych wiązek anten sektorowych do odległości określonej zgodnie z wytycznymi zawartymi w instrukcji wykonywania pomiarów, podczas rzeczywistej pracy urządzeń wytwarzających pola elektromagnetyczne.

Pomiary wykonano dla średniego pochylecia wiązki liczonego jako średnia arytmetyczna z minimalnej i maksymalnej wartości stosowanego lub planowanego kąta pochylecia. Średnie wartości tilt ustawiane są przez Klienta. W przypadku, gdy na danym azymucie zainstalowano kilka anten, średnia wartości tilt ustawiona jest jednakowa dla wszystkich anten. Przyjmuje się najgorszą wartość spośród anten zainstalowanych na danym kierunku.

Pomiary w przyjętych pionach pomiarowych wykonano w punktach położonych na wysokościach od 0,3 m do 2,0 m nad powierzchnią ziemi lub nad innymi powierzchniami, na których mogą przebywać ludzie, przyjmując za wynik pomiaru maksymalny poziom natężenie pól elektromagnetycznego.

Pomiary wykonano w dodatkowych pionach pomiarowych w lokalach oraz na balkonach i tarasach, na których mogą przebywać ludzie, po poinformowaniu o planowanych pomiarach z minimum 3-dniowym wyprzedzeniem i po umożliwieniu dostępu do lokalu, balkonu lub tarasu przez jego dysponenta lub bez zachowania terminu wskazanego w pierwszej części zdania za zgodą dysponenta przestrzeni pomiarowej.

Punkty pomiarowe wewnątrz budynków oraz na tarasach/balkonach wyznaczono na podstawie przeprowadzonych obliczeń rozkładu pola elektromagnetycznego. Jako wartość graniczną do wyznaczenia odległości zasięgu pola elektromagnetycznego przyjęto wartość 9 V/m. Jest to wartość wypadkowa po uwzględnieniu współczynników odpowiadającym emisji z obcych źródeł promieniowania elektromagnetycznego oraz efekt odbicia fal radiowych. Obliczenia te wykonywane są uwzględniając parametry systemu antenowego dostarczone przez Klienta, W tym obszarze pomiary w budynkach wykonywane są obowiązkowo. Jeżeli w ww. obszarze nie zlokalizowano żadnych budynków dodatkowo wyznaczono reprezentatywne budynki, wewnątrz których wykonano dodatkowe pomocnicze punkty pomiarowe.

Przy doborze pionów pomiarowych uwzględniono charakter i sposób zagospodarowania terenu otaczającego stację bazową.

3.8. Sposób identyfikacji widma częstotliwości:

Parametry stacji bazowej uzyskane od właściciela instalacji stacji bazowej.

4. WYNIKI POMIARÓW

Wyniki pomiarów ważne są jedynie dla danej konfiguracji urządzeń w dniu, w którym wykonano pomiary.

Wynik pomiaru, to maksymalna wartości chwilowa zmierzona w danym pionie pomiarowym powiększona o rozszerzoną niepewność pomiaru U dla współczynnika rozszerzenia $k = 2$ (dla poziomu ufności 95%).

Tabela 4. Dopuszczalne poziomy pól elektromagnetycznych

Parametr fizyczny Zakres częstotliwości pola elektromagnetycznego	Składowa elektryczna	Składowa magnetyczna
od 400 MHz do 2000 MHz	$1,375 \times f^{0,5}$ V/m	$0,00375 \times f^{0,5}$ A/m
Od 2 GHz do 300 GHz	61 V/m	0,16 A/m

Do wyznaczania wartości wskaźnikowych WM_E i WM_H przyjęto najniższe wartości dopuszczalne poziomów pól elektromagnetycznych w/w zakresów częstotliwości.

Tabela 5. Wyniki pomiarów

Nr pionu	Opis miejsca pomiaru	Pomiar wewnątrz pomieszczenia	Współrzędne geograficzne		Wynik poniżej progu detekcji	E_p [V/m]	U [V/m]	$E_p + U$ [V/m]	H [A/m]	WM_E	WM_H	Przekroczenie wartości dopuszczalnej
			[°] E	[°] N								
1	W budynku, przy oknie, piętro 1, al. Duchy Świętego 6/2 - pomocniczy pion pomiarowy	TAK	21,423626153	50,298390058	NIE	2,08	0,69	2,77	0,007	0,10	0,099	nie przekracza
2	Poziom gruntu - Główny kierunek pomiarowy anteny sektorowej azymut 120st	NIE	21,423516440	50,298344300	NIE	0,96	0,32	1,28	0,003	0,05	0,046	nie przekracza
3	Poziom gruntu - Główny kierunek pomiarowy anteny sektorowej azymut 120st	NIE	21,423824972	50,298233462	TAK	<0,80	0,27	1,07	0,003	0,04	0,038	nie przekracza
4	Poziom gruntu - Główny kierunek pomiarowy anteny sektorowej azymut 120st	NIE	21,424172924	50,298108183	NIE	0,90	0,30	1,20	0,003	0,04	0,043	nie przekracza
5	Poziom gruntu - Główny kierunek pomiarowy anteny sektorowej azymut 120st	NIE	21,424562272	50,297960857	NIE	0,92	0,31	1,23	0,003	0,04	0,044	nie przekracza
6	Poziom gruntu - Główny kierunek pomiarowy anteny sektorowej azymut 120st	NIE	21,424919044	50,297823287	NIE	0,90	0,30	1,20	0,003	0,04	0,043	nie przekracza
7	Poziom gruntu - Główny kierunek pomiarowy anteny sektorowej azymut 120st	NIE	21,425215540	50,297708157	NIE	0,96	0,32	1,28	0,003	0,05	0,046	nie przekracza
8	Poziom gruntu - pomocniczy pion pomiarowy	NIE	21,424613783	50,297766108	NIE	0,82	0,28	1,10	0,003	0,04	0,039	nie przekracza

Nr pionu	Opis miejsca pomiaru	Pomiar wewnątrz pomieszczenia	Współrzędne geograficzne		Wynik poniżej progu detekcji	E _p [V/m]	U [V/m]	E _p + U [V/m]	H [A/m]	WM _E	WM _H	Przekroczenie wartości dopuszczalnej
			[°] E	[°] N								
9	W budynku, przy otwartym oknie, klatka schodowa, parter, al. Duchy Świętego 1 - pomocniczy pion pomiarowy	TAK	21,424496777	50,297741315	TAK	<0,80	0,27	1,07	0,003	0,04	0,038	nie przekracza
10	W budynku, przy otwartym oknie, klatka schodowa, piętro 1, al. Duchy Świętego 1 - pomocniczy pion pomiarowy	TAK	21,424450123	50,297752880	NIE	0,96	0,32	1,28	0,003	0,05	0,046	nie przekracza
11	W budynku, przy otwartym oknie, klatka schodowa, piętro 2, al. Duchy Świętego 1 - pomocniczy pion pomiarowy	TAK	21,424559181	50,297714290	NIE	1,09	0,37	1,46	0,004	0,05	0,052	nie przekracza
12	Poziom gruntu - pomocniczy pion pomiarowy	NIE	21,424072244	50,297847009	NIE	0,82	0,28	1,10	0,003	0,04	0,039	nie przekracza
13	W budynku usługowym, al. Duchy Świętego 3 - pomocniczy pion pomiarowy	TAK	21,423523757	50,297884173	TAK	<0,80	0,27	1,07	0,003	0,04	0,038	nie przekracza
14	Poziom gruntu - pomocniczy pion pomiarowy	NIE	21,423264439	50,298080229	NIE	0,96	0,32	1,28	0,003	0,05	0,046	nie przekracza
15	Poziom gruntu - Główny kierunek pomiarowy anteny sektorowej azymut 240st	NIE	21,422934944	50,298289852	TAK	<0,80	0,27	1,07	0,003	0,04	0,038	nie przekracza
16	Poziom gruntu - Główny kierunek pomiarowy anteny sektorowej azymut 240st	NIE	21,422370958	50,298068598	NIE	0,89	0,30	1,19	0,003	0,04	0,043	nie przekracza
17	Poziom gruntu - Główny kierunek pomiarowy anteny sektorowej azymut 240st	NIE	21,421895148	50,297909053	TAK	<0,80	0,27	1,07	0,003	0,04	0,038	nie przekracza
18	Poziom gruntu - Główny kierunek pomiarowy anteny sektorowej azymut 240st	NIE	21,421562148	50,297770739	TAK	<0,80	0,27	1,07	0,003	0,04	0,038	nie przekracza
19	Poziom gruntu - Główny kierunek pomiarowy anteny sektorowej azymut 240st	NIE	21,421384772	50,297719965	NIE	1,05	0,35	1,40	0,004	0,05	0,050	nie przekracza
20	W budynku, przy otwartym oknie, klatka schodowa, parter, al. Duchy Świętego 5 - pomocniczy pion pomiarowy	TAK	21,422189544	50,297845420	NIE	0,96	0,32	1,28	0,003	0,05	0,046	nie przekracza
21	W budynku, przy otwartym oknie, klatka schodowa, piętro 1, al. Duchy Świętego 5 - pomocniczy pion pomiarowy	TAK	21,422231096	50,297826397	NIE	0,90	0,30	1,20	0,003	0,04	0,043	nie przekracza

Nr pionu	Opis miejsca pomiaru	Pomiar wewnątrz pomieszczenia	Współrzędne geograficzne		Wynik poniżej progu detekcji	E_p [V/m]	U [V/m]	$E_p + U$ [V/m]	H [A/m]	WM _E	WM _H	Przekroczenie wartości dopuszczalnej
			[°] E	[°] N								
22	W budynku, przy otwartym oknie, klatka schodowa, piętro 2, al. Duchy Świętego 5 - pomocniczy pion pomiarowy	TAK	21,422152405	50,297858298	NIE	0,90	0,30	1,20	0,003	0,04	0,043	nie przekracza
23	Poziom gruntu - Główny kierunek pomiarowy anteny sektorowej azymut 0st	NIE	21,423299484	50,298630256	NIE	1,05	0,35	1,40	0,004	0,05	0,050	nie przekracza
24	Poziom gruntu - Główny kierunek pomiarowy anteny sektorowej azymut 0st	NIE	21,423296533	50,298990429	TAK	<0,80	0,27	1,07	0,003	0,04	0,038	nie przekracza
25	W budynku gospodarczym, al. Duchy Świętego 8 - pomocniczy pion pomiarowy	TAK	21,423009121	50,298657116	NIE	0,82	0,28	1,10	0,003	0,04	0,039	nie przekracza
26	Poziom gruntu - Główny kierunek pomiarowy anteny sektorowej azymut 0st	NIE	21,423314235	50,299361897	NIE	0,90	0,30	1,20	0,003	0,04	0,043	nie przekracza
27	Poziom gruntu - Główny kierunek pomiarowy anteny sektorowej azymut 0st	NIE	21,423293120	50,299782971	NIE	0,82	0,28	1,10	0,003	0,04	0,039	nie przekracza
28	Poziom gruntu - pomocniczy pion pomiarowy	NIE	21,423826065	50,299671992	NIE	0,90	0,30	1,20	0,003	0,04	0,043	nie przekracza
29	Poziom gruntu - pomocniczy pion pomiarowy	NIE	21,424222821	50,299391362	TAK	<0,80	0,27	1,07	0,003	0,04	0,038	nie przekracza
30	Poziom gruntu - pomocniczy pion pomiarowy	NIE	21,423932188	50,299064550	TAK	<0,80	0,27	1,07	0,003	0,04	0,038	nie przekracza
31	Poziom gruntu - pomocniczy pion pomiarowy	NIE	21,423640636	50,298719599	TAK	<0,80	0,27	1,07	0,003	0,04	0,038	nie przekracza

Objaśnienia:

$$E_p: E_{poprawne} = E_{wskazane} * C_{d(E)} * C_{f(f)}$$

$E_{wskazane}$ - zmierzona maksymalna wartość chwilowa natężenia pola elektrycznego

$C_{d(E)}$ – charakterystyka dynamiczna sondy – zgodna ze świadectwem wzorcowania

$C_{f(f)}$ – charakterystyka częstotliwościowa sondy – zgodna ze świadectwem wzorcowania

H – wyznaczona wartość natężenia pola magnetycznego z uwzględnieniem współczynnika korekcyjnego oraz rozszerzonej niepewności pomiaru.

WM_E - wartość wskaźnikowa poziomu oddziaływania pól elektromagnetycznych dla miejsc dostępnych dla ludności dla składowej elektrycznej pola.

WM_H - wartość wskaźnikowa poziomu oddziaływania pól elektromagnetycznych dla miejsc dostępnych dla ludności dla składowej magnetycznej pola.

* Wynik poniżej progu detekcji - wartość zmierzona poniżej zakresu akredytacji. Do obliczeń przyjęto wartość zgodną z dolną granicą akredytowanego zakresu pomiarowego metody.

Piony pomiarowe wewnątrz budynków oraz na tarasach/balkonach wyznaczono na podstawie przeprowadzonych obliczeń rozkładu pola elektromagnetycznego zgodnie z wewnętrznymi procedurami laboratorium.

**** - Brak dostępu**

5. WNIOSKI

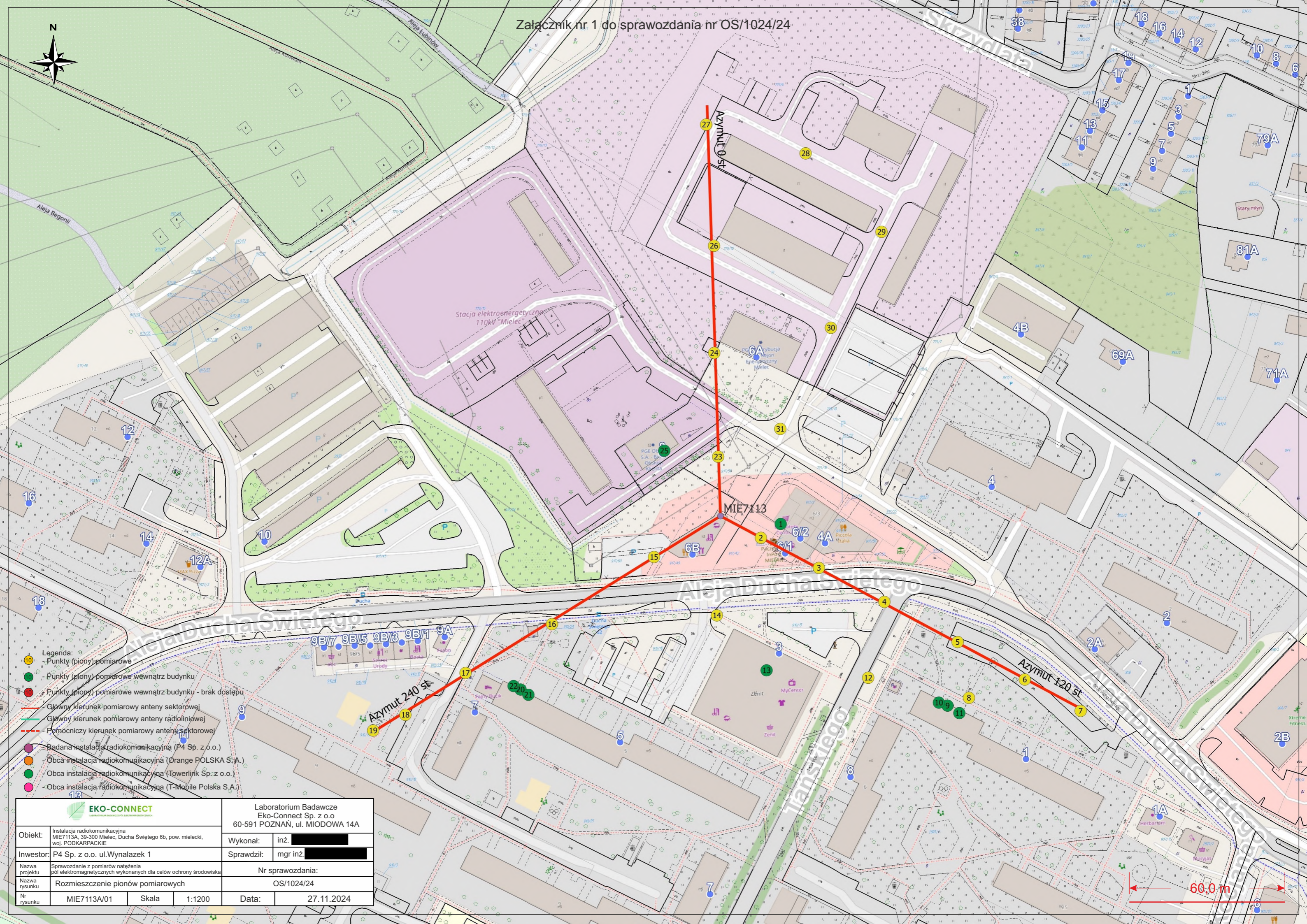
Stwierdza się, iż na podstawie uzyskanych wyników pomiarów i informacji uzyskanych od operatora, w otoczeniu stacji bazowej telefonii komórkowej MIE7113A w miejscach dostępnych dla ludności, w których dokonano pomiaru, nie zostały przekroczone wartości graniczne poziomów pól elektromagnetycznych określonych w Rozporządzeniu Ministra Zdrowia z dnia 17 grudnia 2019 r. w sprawie dopuszczalnych poziomów pól elektromagnetycznych w środowisku (Dz. U. z 2019 r. poz. 2448).

Stwierdzenie zgodności zostało przedstawione na podstawie wyników badań oraz informacji uzyskanych od Klienta (za które Laboratorium nie ponosi odpowiedzialności) dla instalacji opisanej w punkcie 2. Stwierdzenia zgodności dokonano na podstawie zasady podejmowania decyzji i wymagań zawartych w załączniku do Rozporządzenia Ministra Klimatu z dnia 17 lutego 2020 r. w sprawie sposobów sprawdzania dotrzymania dopuszczalnych poziomów pól elektromagnetycznych w środowisku (Dz.U. 2022 poz. 2630 z 15.12.2022r.).

- Sprawozdanie zawiera 10 stron
- Załączniki: nr 1 – mapa z rozmieszczeniem pionów pomiarowych wokół obiektu
- Otrzymują:
 1. Zleceniodawca: - 1 egz.
 2. a / a: 1 egz.

Bez pisemnego zezwolenia laboratorium Eko-Connect Sp. z o.o. sprawozdanie nie może być powielane inaczej, jak tylko w całości.

KONIEC SPRAWOZDANIA



- Legenda:
- Punkty (piony) pomiarowe
 - Punkty (piony) pomiarowe wewnątrz budynku
 - Punkty (piony) pomiarowe wewnątrz budynku - brak dostępu
 - Główny kierunek pomiarowy anteny sektorowej
 - Główny kierunek pomiarowy anteny radioliniowej
 - Pomocniczy kierunek pomiarowy anteny sektorowej
 - Badana instalacja radiokomunikacyjna (P4 Sp. z o.o.)
 - Obca instalacja radiokomunikacyjna (Orange POLSKA S.A.)
 - Obca instalacja radiokomunikacyjna (Towerlink Sp. z o.o.)
 - Obca instalacja radiokomunikacyjna (T-Mobile Polska S.A.)

EKO-CONNECT <small>Laboratorium Badawcze Pól Elektromagnetycznych</small>		Laboratorium Badawcze Eko-Connect Sp. z o.o 60-591 POZNAŃ, ul. MIODOWA 14A	
Obiekt:	Instalacja radiokomunikacyjna MIE7113A, 39-300 Mielec, Ducha Świętego 6b, pow. mielecki, woj. PODKARPACIE	Wykonał:	inż. ██████████
Inwestor:	P4 Sp. z o.o. ul. Wyzalazek 1	Sprawdził:	mgr inż. ██████████
Nazwa projektu:	Sprawozdanie z pomiarów natężenia pól elektromagnetycznych wykonanych dla celów ochrony środowiska	Nr sprawozdania: OS/1024/24	
Nazwa rysunku:	Rozmieszczenie pionów pomiarowych	Data: 27.11.2024	
Nr rysunku:	MIE7113A/01	Skala:	1:1200

60.0 m

■ Dokonano anonimizacji danych na podstawie art. 5 ust. 2 ustawy z dnia 6 września 2001 r. o dostępie do informacji publicznej (t.j. Dz.U.2022.902). Anonimizacji dokonała: Klaudia Łażewska.